

基于群论的预应力结构广义特征值分析

陈耀 冯健

(东南大学混凝土及预应力混凝土结构教育部重点实验室 南京 210096

国家预应力工程技术研究中心 南京 210096)

摘要:由于常规自振分析方法未能充分利用结构的固有对称性,当结构自由度增加时,计算消耗显著提升。本文基于群论方法,提出一种分析对称型预应力结构动力特性的高效方法。首先,结合一致质量矩阵及切线刚度矩阵建立了预应力结构的广义特征方程,并考虑初始预应力对结构的影响,以求解结构的自振频率及振型。随后,建立对称坐标系,将刚度矩阵及质量矩阵分解为一系列分块对角化矩阵。由于各分块子矩阵相互独立,广义特征值问题的求解难度显著降低,从而能高效求解结构的自振频率及相应振型。数值算例阐明了所提出方法的基本计算过程及显著优势。与有限元结果及常规方法所得结果比较后可知,基于群论的对称方法准确、高效。

主题:结构分析;对称;特征值;预应力

关键词:预应力结构 自振频率 群论 对称 广义特征值问题

DOI: 10.13211/j.cnki.pstech.2015.05.001

1 前言

现代预应力结构主要由索、杆、梁等构件组成,在世界各地逐渐得以应用,它们因其独特的结构外形以及较强的跨越能力受到建筑师和结构师的青睐。通常,在初始态下这些预应力结构包含内部机构位移模态,当施加合适的预应力后,形成一定的结构刚度,从而达到稳定的平衡状态。

最近,预应力结构受广泛研究,主要包括形态分析(Pellegrino and Calladine 1986; Pellegrino 1990)、稳定性分析(Gunnar 1999; Zhang et al. 2009b)以及优化分析(Yuan and Dong 2003; Kitipornchai et al. 2005)等。然而,针对现代预应力结构的动力分析研究却极少。实际上,对于一个结构而言,固有振动是非常重要一项内在力学特性,它直接影响结构在动态作用下的反应。因此,有关预应力结构固有振动特性的分析十分重要。有学者采用有限元方法分析了Giger型索穹顶的自振特性(Luo and Wang 2005),研究已经发现该类型结构的自振频率相当低,并且分布集中。Zhang等人(Zhang 2007)对张弦梁结构的固有频率进行了研究,文中解释说明了索结构的张

拉以及不同边界条件对动力特性的显著影响。

Wu和Sasaki(Wu and Sasaki 2007)采用数值方法对索拱结构的静态和动态特性进行了研究,他们所求得的拱的固有振动的结论与试验值吻合非常好。

从数学角度来看,结构的自振频率可以通过求解关于结构切线刚度矩阵和质量矩阵的广义特征值方程直接获得。然而,由于结构自由度的增加,计算需求也显著增加。在这种情况下,我们必须采取有效的求解方法。Kaveh和Rahami(2007a, b)研究了三对角线矩阵和五对角线矩阵,并且提出了有效的分解方法。之后,有学者提出了结合拓扑学和图论的数值解法,用于解决圆柱形网格结构的特征值问题(Kaveh and Rahami 2008)。由于大部分结构要么是对称的,要么是由重复的子结构组成,群论可有效简化这些对称结构的广义特征值分析。在物理和化学领域,基于群论的对称学方法已经被证明是一个非常强大的数学工具(Ceulemans and Fowler 1991),然而,在土木工程领域却鲜有应用。最近几年,群论逐渐被用于一些结构力学的研究(Healey and Treacy 1991; Zingoni 1996, 2005, 2008; Mohan and Pratap 2004; Kaveh and Nikbakht 2007, 2010; Kaveh and Rahami 2010a)。Kangwai等人(Kangai

基金项目:国家自然科学基金项目(51278116)、东南大学优秀博士学位论文基金项目(YBJJ1025)、江苏高校优势学科建设工程资助项目

et al. 1999) 具体解释了如何运用群论求解对称结构的对称坐标系。最近, 也有文著综述了群论方法在结构工程分析研究中的应用情况和优点 (Zlokovic 1989; Zingoni 2002, 2009)。

然而, 很少有研究涉及到对称型预应力结构的求解, 这是由于预应力结构借助合理的预应力来获得其自身稳定。Pandia Raj 和 Guest (Pandia Raj and Guest 2006) 利用群论来简化张拉整体结构的找形过程。他们发现, 平衡矩阵和应力矩阵均能够被对角化。Kaveh 等人 (Kaveh et al. 2010) 利用图论进了预应力索网结构的频率分析, 其中相关矩阵可实现完全的分块对角化, 因而能高效地获得自振频率。在此研究基础上, 本文将对具有复杂对称性的现代预应力结构进行更为系统的广义特征值分析。

2 基本理论

2.1 基本假定及广义特征值方程

需指出, 文中采取以下假定:

- (a) 所有节点均视为铰接连接;
- (b) 索和撑杆假定为直线单元, 且应力-应变关系为线弹性;
- (c) 各单元自重平均分配到两端;
- (d) 结构的固有振动模式为简谐振动。

忽略阻尼作用, 预应力结构的广义特征值方程为:

$$K\phi - \omega^2 M\phi = F = 0 \quad (1)$$

式中, M 为具有 m 个节点的 d 维结构 ($d=2$ 或 $d=3$) 的 $md \times md$ 对称质量矩阵;

K 为 $md \times md$ 对称切线刚度矩阵;

ω 为结构自振频率构成的向量;

ϕ 为相应的 $md \times 1$ 振型矩阵。

具有 b 个单元的预应力结构的切线刚度矩阵可以写成:

$$K = H\tilde{G}H^T + (C^T t C) \otimes I_d \quad (2)$$

式中, H 为 $md \times b$ 平衡矩阵, 描述单元内力与节点外力的关系;

\tilde{G} 为 $b \times b$ 对角矩阵, 其包含单元的修正轴向刚度 (Guest 2006; Zhang et al. 2009a);

I_d 为 $d \times d$ 的单位矩阵;

\otimes 表示克罗内克积;

$\bar{t} = t/l$ 是 $b \times b$ 的应力矩阵, 它反应了单位长度的应力等级 t , l 为长度矩阵;

C 是 $b \times m$ 的拓扑矩阵, 它描述了几何拓扑关系, 如果单元 k 连接节点 i 和 j , 那么矩阵的第 i 行、 j 行、 k 行分别为 1、-1 和 0。

2.2 群论及其矩阵表示

采用群论方法 (Kaveh and Nikbakht 2007; Zingoni 2009) 或图论-代数方法 (Kaveh and Fazli 2010; Kaveh and Raham 2010b), 能够对对称结构进行深入系统的研究。本节, 首先将对群论及其矩阵表示的概念作一些简单介绍。

群集 $G = \{g_i, i=1, 2, \dots, n\}$ 是系列独立元素的集合, 并满足以下四项准则:

(i) 必须包含单位元素: 存在 $E \in G$, 对于任何元素 $g_i \in G$, 总存在 $g_i \cdot E = E \cdot g_i = g_i$;

(ii) 任何两个元素的运算结果仍是群集的元素, 例如 $g_1 \in G, g_2 \in G$, 那么 $g_1 \cdot g_2 \in G$;

(iii) 每个元素在群集中都有其逆元素, 如 $g_1 \in G$, 则 $g_1^{-1} \in G$, 反之亦然;

(iv) 群集元素遵循结合律, 例如: $(g_1 \cdot g_2) \cdot g_3 = g_1 \cdot (g_2 \cdot g_3)$ 。

为了描述一个结构的对称性, 我们将各个对称操作视为群集的独立元素。对称操作是一种特定的操作, 在对称操作下, 结构变换后的几何构型与原几何构型完全等效 (几何上无法识别)。我们可以用矩阵的方式描述在对称操作下节点坐标 X 的变换和节点荷载 F 的变换:

$$X = R\tilde{X}, \text{ 且 } F = R\tilde{F} \quad (3)$$

式中, \tilde{X} 和 \tilde{F} 分别是在对称坐标系下节点坐标矩阵和节点荷载矩阵, 矩阵 R 是对应的转换矩阵。在对称操作作用下, 转换矩阵 R 可表示为:

$$R = S_y \otimes r \quad (4)$$

式中, S_y 是描述一个结构固有对称性 $m \times m$ 的拓扑矩阵。在对称操作下, 若将笛卡尔坐标系中某节点 j 转换到节点 i , 则拓扑矩阵可通过取第 j 行与第 i 行分别为 1 和 0 获得。 r 是从节点 j 坐标转换到节点 i 坐标的 $d \times d$ 的局部转换矩阵。在此, 以一个简单的二维对称索杆结构为例, 如图 1 所

示。在绕原点O旋转 π 角度的对称操作下（用 C_2 表示），节点1到节点6分别由初始节点3、4、1、2、6和5转换而来。因此，对这一特定的对称操作，转换矩阵表示为：

$$R = \begin{bmatrix} 0 & 0 & 1 & 0 & 0 & 0 \\ 0 & 0 & 0 & 1 & 0 & 0 \\ 1 & 0 & 0 & 0 & 0 & 0 \\ 0 & 1 & 0 & 0 & 0 & 0 \\ 0 & 0 & 0 & 0 & 0 & 1 \\ 0 & 0 & 0 & 0 & 1 & 0 \end{bmatrix} \otimes \begin{bmatrix} \cos(\pi) & -\sin(\pi) \\ \sin(\pi) & \cos(\pi) \end{bmatrix} \quad (5)$$

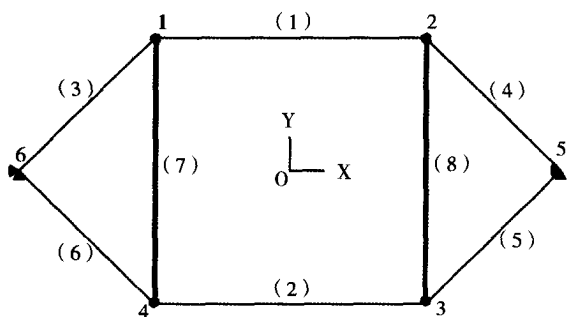


图1 二维 C_2 对称索杆结构

在对称操作（ C_2 ）下，公式（5）中 2×2 的局部转换矩阵 r 使得每个节点的 x 和 y 轴变成相反的方向。实际上，所有类似于公式（5）中的转换矩阵均为稀疏矩阵，因此能够被继续化简，其分解后的子矩阵被称为不可约表示 Γ^μ 。当然，对于不同的点对称群，所对应的对称操作、不可约表示均能够从一些群论书籍中直接查阅得到，例如参考文献Altmann and Herzog（1994）和Kettle（1995）。

在土木工程领域，传统的对称预应力结构包括周期对称性结构（如重复的张拉整体结构），或环向轴对称（如索穹顶结构）。需指出，周期对称结构中包含重复的基本单元，在同一方向以同等距离平移对称操作，移动结构所有的节点和单元。为了使用平移对称性研究周期对称结构，需要忽略影响局部力学性能的结构边界条件。值得一提的是，本文仅考虑属于环向对称群 C_{nv} 的对称预应力结构。三种不同的对称操作构建了环向对称群 C_{nv} ：全等操作 E ，沿主轴逆时针旋转操作 C_n^i （ $i=1, 2, \dots, n-1$ ），以及沿包含相应主轴的

平面镜像操作 σ_j （ $j=1, 2, \dots, n$ ）。这 $2n$ 个对称操作满足群集的所有四个准则要求，因此能够构建成一个封闭的对称群集。文中，以笛卡尔坐标系中的 z 轴规定为主轴，而平面 xoy 与用于镜像操作的镜面平面相互垂直。

表1归纳了环向对称群 C_{nv} 的不可约矩阵表示。对称群 C_{nv} 总计有 $2\alpha+2$ 个一维的不可约矩阵表示及 p 个二维的不可约矩阵表示，其中

$$p = \frac{n-1-\alpha}{2} \text{ 且 } \alpha = \begin{cases} 0 & \text{when } n \text{ is odd} \\ 1 & \text{when } n \text{ is even} \end{cases} \quad (6)$$

表1 环向对称群 C_{nv} 的不可约矩阵表示 Γ^μ

$\Gamma^\mu \setminus I$	E	C_n^i ($i=1, 2, \dots, n-1$)	σ_j ($j=1, 2, \dots, n$)	位移与转角
A_1	1	1	1	z
A_2	1	1	-1	R_z
B_1	1	$(-1)^i$	$(-1)^j$	
B_2	1	$(-1)^i$	$(-1)^{j-1}$	
E_1	1 0	$C_i \ -S_i$	$C_j \ S_j$	(x, y)
	0 1	$S_i \ C_i$	$S_j \ -C_j$	(R_x, R_y)
E_k	1 0	$C_{ik} \ -S_{ik}$	$C_{jk} \ S_{jk}$	
$k=2, \dots, p$	0 1	$S_{ik} \ C_{ik}$	$S_{jk} \ -C_{jk}$	

注：表中 B_1 行与 B_2 行当且仅当 n 为偶数时成立，且表中

$$S_{ik} = \sin\left(\frac{2ki\pi}{n}\right), \quad C_{ik} = \cos\left(\frac{2ki\pi}{n}\right)$$

2.3 对称型刚度矩阵及对称型质量矩阵

通过对群论中非常重要的广义正交定理，可以推导出关于一维不可约矩阵表示 Γ^μ 的对称子空间 V_{Γ^μ} 为：

$$V_{\Gamma^\mu} = F\left(\sum_1 \Gamma_1^\mu \cdot R_1\right) \quad (7)$$

式中 $\Gamma^\mu = A_1, A_2, B_1, B_2$ ，对称操作 $I = E, C_n^1, \dots, C_n^{n-1}, \sigma_1, \sigma_2, \dots, \sigma_n$ ，并定义函数 $F(x)$ 用于求解变量矩阵 x 的列空间。

此外，关于二维不可约矩阵表示的对称子空间为：

$$V_{\Gamma^\mu}(j) = F\left(\sum_1 \Gamma_1^\mu(j, j) \cdot R_1\right) \quad (8)$$

式中 $j=1, 2$ ，且对称操作与式（7）中相同。因此，用于将坐标和荷载转换到对称坐标系下的正交转换矩阵 V 为：

$$V = \sum_{\Gamma^\mu=A_1}^{E_p} \oplus V_{\Gamma^\mu} \quad (9)$$

随后，可将对称型坐标矩阵和外力矩阵写成如下形式：

$V(B_2)$ 中 σ_2 被继续保留。由此可知, 对称型刚度矩阵和对称型质量矩阵可通过公式(2)、(12-13)和(16)计算求得, 其子矩阵如表2所列。

表2 子矩阵的对称匹配刚度矩阵以及质量矩阵

子矩阵	A_1	A_2	B_1	B_2
$\tilde{K}_i (\times \frac{E_{cable} A_{cable}}{L_H})$	$\begin{bmatrix} 13.3 & -0.7 \\ 0.7 & 2.7 \end{bmatrix}$	$\begin{bmatrix} 0.7 & -0.7 \\ -0.7 & 0.7 \end{bmatrix}$	$\begin{bmatrix} 13.3 & -0.7 \\ -0.7 & 0.7 \end{bmatrix}$	$\begin{bmatrix} 0.7 & 0.7 \\ 0.7 & 2.7 \end{bmatrix}$
$\tilde{M}_i (\times \rho [A_{cable}(L_H+L_v) + A_{strut} L_s])$	$\begin{bmatrix} 0.5 & 0 \\ 0 & 0.5 \end{bmatrix}$	$\begin{bmatrix} 0.5 & 0 \\ 0 & 0.5 \end{bmatrix}$	$\begin{bmatrix} 0.5 & 0 \\ 0 & 0.5 \end{bmatrix}$	$\begin{bmatrix} 0.5 & 0 \\ 0 & 0.5 \end{bmatrix}$

分块对角化刚度矩阵 \tilde{K} 和质量矩阵 \tilde{M} 包含四个沿对角线独立分布的 2×2 子矩阵。因此, 我们可以通过求解子矩阵 \tilde{K}_i 和相应的 \tilde{M}_i ($i = A_1, A_2, B_1, B_2$) 来求解特征值, 具体公式如下:

$$\tilde{\omega}_i^2 \tilde{M}_i \tilde{\phi}_i - \tilde{K}_i \tilde{\phi}_i = 0 \text{ 式中 } i = A_1, A_2, B_1, B_2 \quad (17)$$

应当指出, 原结构共具有八个自由度, 其频率分析被四个独立的二维问题所替代。表3详细列出了有预应力结构 and 无预应力结构的计算

结果。

由表3可知, 对称法求解结果与数值法完全一致。与此同时, 对称法计算所耗时间仅为0.004s, 而传统数值法所耗时间高达0.0156s。从数学的角度来讲, 群论方法与传统数值法一样, 但由于相关矩阵已被分块对角化, 能够被独立求解, 因而群论方法更为高效。

对模型A和型B进行比较可以发现, 由于第1阶自振频率完全依赖于预应力的等级, 所以 C_{2v} 对称索杆结构可通过预应力实现稳定。由于存在预应力, 结构的低阶自振频率略增加了一些。

图2描绘了结构所有的自振振型, 并根据式(15)给出了各振型所属的对称子空间。图中短箭头表示各节点的相对运动趋势, 可以发现结构振型与其对称子空间关联的对称特性一致。模态5和8具有全对称性, 这是由于他们来自对称子空间 A_1 。类似地, 模态1和4具有旋转对称性, 模态3和7关于 x 轴对称, 而模态2和6关于 y 轴对称。

表3 对称索杆结构的自振频率

模态		1	2	3	4	5	6	7	8
模型A	对称法	9.14	138.72	163.10	237.17	325.36	341.40	729.54	729.68
	数值法	9.14	138.72	163.10	237.17	325.36	341.40	729.54	729.68
模型B	对称法	0	138.51	162.95	237.17	325.29	341.48	729.46	729.66
	数值法	0	138.51	162.95	237.17	325.29	341.48	729.46	729.66

注: 模型A与模型B分别定义为有预应力与无预应力结构。

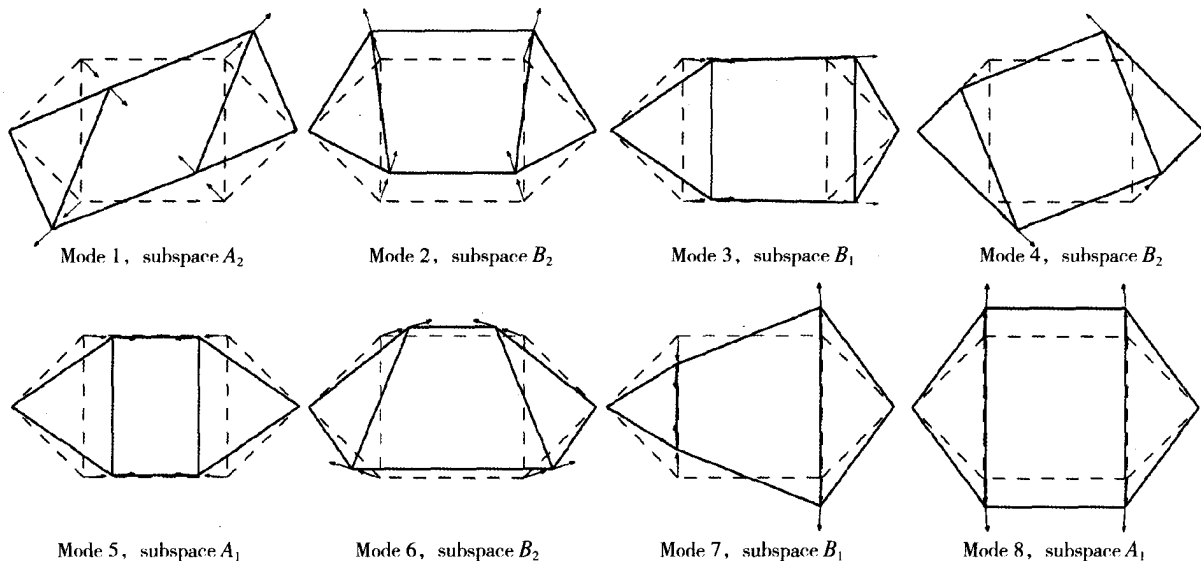


图2 对称索杆结构的自振振型

3.2 C_{6v} 对称索网结构

本节将分析一个由12个节点和12个索单元组成的三维索网结构，结构具有 C_{6v} 对称性。图3给出了结构的节点和单元编号，并给出了由6个主轴1-6 (σ_1 - σ_6) 定义的对称边界条件。在此，取径向索（单元1-6）的松弛长度为 $L_R=4000\text{mm}$ ，环向索（单元7-12）的松弛长度为 $L_r=3000\text{mm}$ 。索的横截面面积均为 $A_{cable}=1963.44\text{mm}^2$ ，所有单元的初始预应力大小均为566kN。

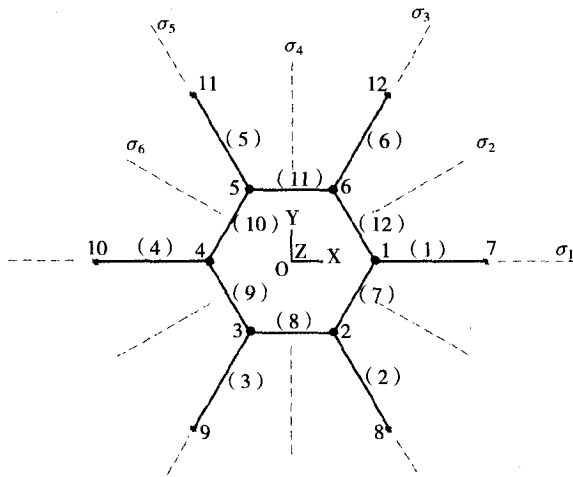


图3 三维 C_{6v} 对称索网结构

对称群 C_{6v} 由12个独立的对称操作组成，即

对称群 $\{E, C_6^1, C_6^2, C_6^3, C_6^4, C_6^5, \sigma_1, \sigma_2, \sigma_3, \sigma_4, \sigma_5, \sigma_6\}$ 。根据表1（取 $n=6$ ）和公式（9）的不可约表示， C_{6v} 对称索网结构的正交转换矩阵 V 为：

$$V=[V(A_1), V(A_2), V(B_1), V(B_2), V(E_{11}), V(E_{12}), V(E_{21}), V(E_{22})] \quad (18)$$

其中，各不可约表示关联的对称子空间如表4所示。

由表4可知，正交转换矩阵 V 中存在8个对称子空间。节点荷载和位移在 $V(A_1)$ 中是完全对称的，并在 $V(A_2)$ 中是旋转对称的。在 $V(B_1)$ 中沿轴1、3、5保持镜像对称及 C_3 旋转对称；在 $V(B_2)$ 中沿轴2、4、6镜像对称及 C_3 旋转对称。此外，结构在 $V(E_{11})$ 中保持 σ_1 对称，在 $V(E_{12})$ 中保持 σ_4 对称；它们在子空间 $V(E_{21})$ 中沿轴线1、4保持 C_2 旋转对称，在 $V(E_{22})$ 中亦保持 C_2 旋转对称。

由于所有非约束节点具有旋转对称属性，结构的对称型质量矩阵仍然保持原对角质量矩阵不变，且矩阵中元素 $M_i=0.5\rho A_{cable}(L_R+2L_r)$ 。表5给出了 C_{6v} 对称索网结构对称匹配刚度矩阵的子块：

表4 C_{6v} 对称索网结构的不同对称子空间

对称子空间	矩阵表示
$V(A_1)$	$[-0.41, 0, 0, -0.20, 0.35, 0, 0.20, 0.35, 0, 0.41, 0, 0, 0.20, -0.35, 0, -0.20, -0.35, 0]^T$
$V(A_2)$	$[0, -0.41, 0, -0.35, -0.20, 0, -0.35, 0.20, 0, 0, 0.41, 0, 0.35, 0.20, 0, 0.35, -0.20, 0, 0, 0, -0.41, 0, 0, -0.41, 0, 0, -0.41, 0, 0, -0.41, 0, 0, -0.41]^T$
$V(B_1)$	$[-0.41, 0, 0, 0.20, -0.35, 0, 0.20, 0.35, 0, -0.41, 0, 0, 0.20, -0.35, 0, 0.20, 0.35, 0]^T$
$V(B_2)$	$[0, -0.41, 0, 0.35, 0.20, 0, -0.35, 0.20, 0, 0, -0.41, 0, 0.35, 0.20, 0, -0.35, 0.20, 0, 0, 0, -0.41, 0, 0, 0.41, 0, 0, -0.41, 0, 0, 0.41, 0, 0, -0.41]^T$
$V(E_{11})$	$[0, 0, 0, -0.43, -0.25, 0, -0.43, 0.25, 0, 0, 0, 0, -0.43, -0.25, 0, -0.43, 0.25, 0, 0, 0, 0, 0, 0, 0.50, 0, 0, 0.50, 0, 0, 0, 0, 0, -0.50, 0, 0, -0.50, -0.58, 0, 0, -0.14, 0.25, 0, -0.14, -0.25, 0, -0.58, 0, 0, -0.14, 0.25, 0, -0.14, -0.25, 0]^T$
$V(E_{12})$	$[0, 0, 0, 0.25, -0.43, 0, -0.25, -0.43, 0, 0, 0, 0, 0.25, -0.43, 0, -0.25, 0.43, 0, 0, -0.58, 0, -0.25, -0.14, 0, 0.25, -0.14, 0, 0, -0.58, 0, -0.25, -0.14, 0, 0.25, -0.14, 0, 0, 0, -0.58, 0, 0, -0.29, 0, 0, 0.29, 0, 0, 0.58, 0, 0, 0.29, 0, 0, -0.29]^T$
$V(E_{21})$	$[0, 0, 0, 0.43, 0.25, 0, -0.43, 0.25, 0, 0, 0, 0, -0.43, -0.25, 0, 0.43, -0.25, 0, 0, 0, 0, 0, 0, 0.50, 0, 0, -0.50, 0, 0, 0, 0, 0, 0.50, 0, 0, -0.50, 0.58, 0, 0, -0.14, 0.25, 0, 0.14, 0.25, 0, -0.58, 0, 0, 0.14, -0.25, 0, -0.14, -0.25, 0]^T$
$V(E_{22})$	$[0, 0, 0, -0.25, 0.43, 0, -0.25, -0.43, 0, 0, 0, 0, 0.25, -0.43, 0, 0.25, 0.43, 0, 0, 0.58, 0, -0.25, -0.14, 0, -0.25, 0.14, 0, 0, -0.58, 0, 0.25, 0.14, 0, 0.25, -0.14, 0, 0, 0, -0.58, 0, 0, 0.29, 0, 0, 0.29, 0, 0, -0.58, 0, 0, 0.29, 0, 0, 0.29]^T$

表5 对称型刚度矩阵的分块子矩阵

子矩阵	A_1	A_2	B_1	B_2	E_{11}
$\tilde{K}_i (\times \frac{E_{cable} A_{cable}}{100L_R})$	[23.33]	$\begin{bmatrix} -0.03 & 0 \\ 0 & -0.03 \end{bmatrix}$	[10]	$\begin{bmatrix} 39.97 & 0 \\ 0 & -0.03 \end{bmatrix}$	$\begin{bmatrix} 9.97 & 0 & -10 \\ 0 & -0.03 & 0 \\ -10 & 0 & 20 \end{bmatrix}$
子矩阵	E_{12}	E_{21}	E_{22}		
$\tilde{K}_i (\times \frac{E_{cable} A_{cable}}{100L_R})$	$\begin{bmatrix} 20 & -10 & 0 \\ -10 & 9.97 & 0 \\ 0 & 0 & -0.03 \end{bmatrix}$	$\begin{bmatrix} 29.97 & 0 & -10 \\ 0 & -0.03 & 0 \\ -10 & 0 & -13.33 \end{bmatrix}$	$\begin{bmatrix} 13.33 & -10 & 0 \\ -10 & 29.97 & 0 \\ 0 & 0 & -0.03 \end{bmatrix}$		

由表5可知,对称型刚度矩阵 \tilde{K}_i 被分块对角化,沿着主对角方向包含两个 1×1 的子矩阵块 \tilde{K}_{A_1} 、 \tilde{K}_{B_1} ;两个 2×2 的子矩阵块 \tilde{K}_{A_2} 、 \tilde{K}_{B_2} ;四个 3×3 的子矩阵块 $\tilde{K}_{E_{11}}$ 、 $\tilde{K}_{E_{12}}$ 、 $\tilde{K}_{E_{21}}$ 和 $\tilde{K}_{E_{22}}$ 。所以特征值可以通过求解每个子矩阵 \tilde{K}_i 及其相应 \tilde{M}_i ($i = A_1, A_2, B_1, B_2, E_{11}, E_{12}, E_{21}, E_{22}$),并作为相互独立的广义特征值问题来求解。随后,我们可以得到对称子空间 $V(i)$ 的频率 ω_i 及自振模态 ϕ_i 。自振模态可表示为:

$$\phi_i = V(i) \tilde{\phi}_i, \text{ 其中 } i = (i = A_1, A_2, B_1, B_2, E_{11}, E_{12}, E_{21}, E_{22}) \quad (19)$$

图4给出了所得结果与常规数值结果的对比情况。可知,由群论方法所求得频率与常规法十分吻合,二者之间的最大误差为 $9.4e-8$,并且出现在自振模态的第14阶和18阶。需指出,两种方法在保持同等精度的情况下,常规数值法所需计算时间比对称法六倍还多,高达0.0781s。

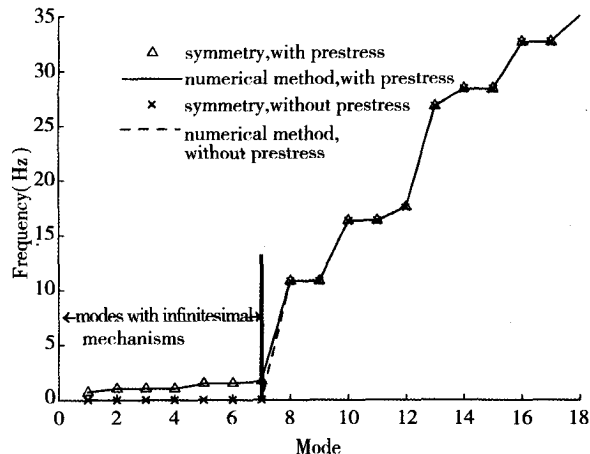


图4 对称索网结构的低阶自振频率

由于该索网结构的整体平衡矩阵 H 存在奇异值,前七阶自振模态对应着七个一阶无穷小机构位移。因此,如公式(2)所列的切线刚度矩阵所体现的,前七阶自振频率对结构初始预应力较为敏感。当结构不存在初始预应力时,相应的自振频率为零,如图4中下部虚线所示。即便如此,采用对称法仍然准确求得了无预应力索网结构的所有结果,与常规数值法的最大误差为 $2.57e-7$ 。

图5为该对称索网结构的前12阶自振模态,可以看出,结构的第1阶自振模态为 C_6 对称,第3阶模态为 C_6 旋转对称,第7阶和第12阶模态均为 C_3 对称。因此可以确定,图5所示的结构自振模态均满足相应对称子空间的特征属性。

由于与二维不可约表示关联的对称子空间总存在重根,我们在数值计算之前即可据此推测出对称子空间 E_{i1} 和 E_{i2} ($i=1, 2$)将会产生相同的自振频率。事实也确实如此,图4和图5所示的结果证明了以上推断。模态2和模态4具有相同的自振频率,模态8和模态9具有相同的自振频率,这是由于它们均来自对称子空间 E_1 ;类似地,模态5和模态6具有相同自振频率,模态10和模态11具有相同自振频率,它们都来自于对称子空间 E_2 。

3.3 C_{12v} 对称Levy型索穹顶结构

本节将围绕一个几何构型更为复杂的结构——即 C_{12v} 对称Levy型索穹顶结构,进行其广义特征值分析。Levy型索穹顶是一种新型的预应力索杆结构,由美国工程师Levy提出(Gerardo和Levy

1992)。此后，在世界范围内（尤其是美、日、韩等发达国家）已相继建成了一些典型的Levy型索穹顶结构，例如美国亚特兰大的乔治亚穹顶，结构跨度为233.5m × 186m。

图6给出了一个Levy型索穹顶结构的几何构型，该结构的圆直径为100m，图中也给出了结构的几何边界条件和对称性。该 C_{12v} 对称Levy型索穹顶结构由84个铰接节点和204个单元组成，

其中12个外边界节点沿三个方向受到位移约束。所有单元包括3种撑杆和10种索，每一类型单元都包含12个绕z轴环向分布的单元。就群论所描述的对称性而言，该结构拥有1个全等变换操作E，11个旋转对称操作 $C_{12}^1 - C_{12}^{11}$ ，以及12个镜像对称操作 $\sigma_1 - \sigma_{12}$ ，如图6(a)所示。

表6具体给出了不同类型单元的横截面面积和初始预应力大小。

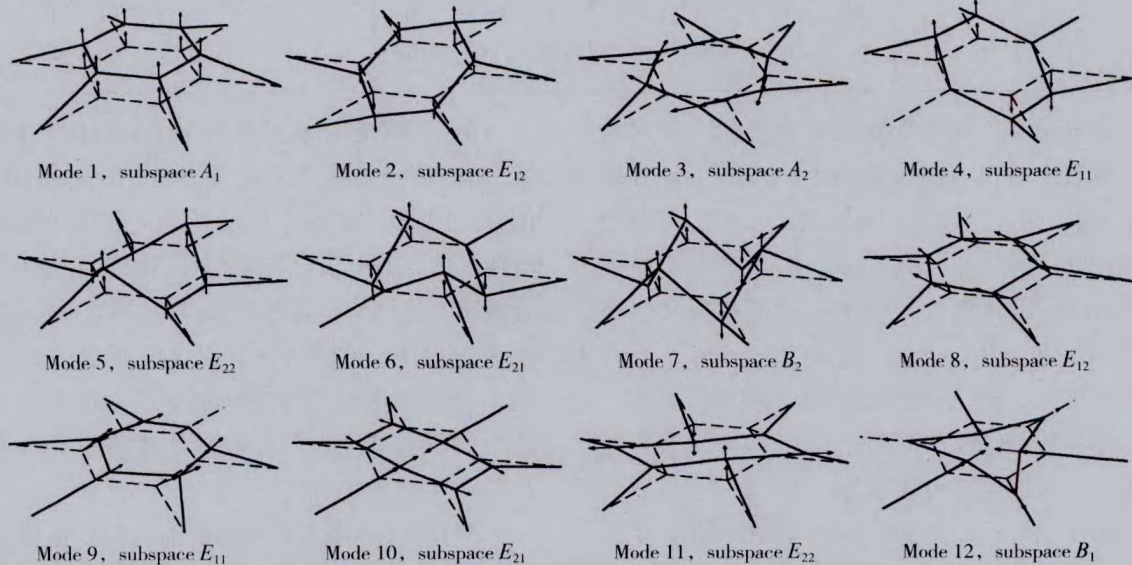


图5 对称索网结构的前12阶自振振型

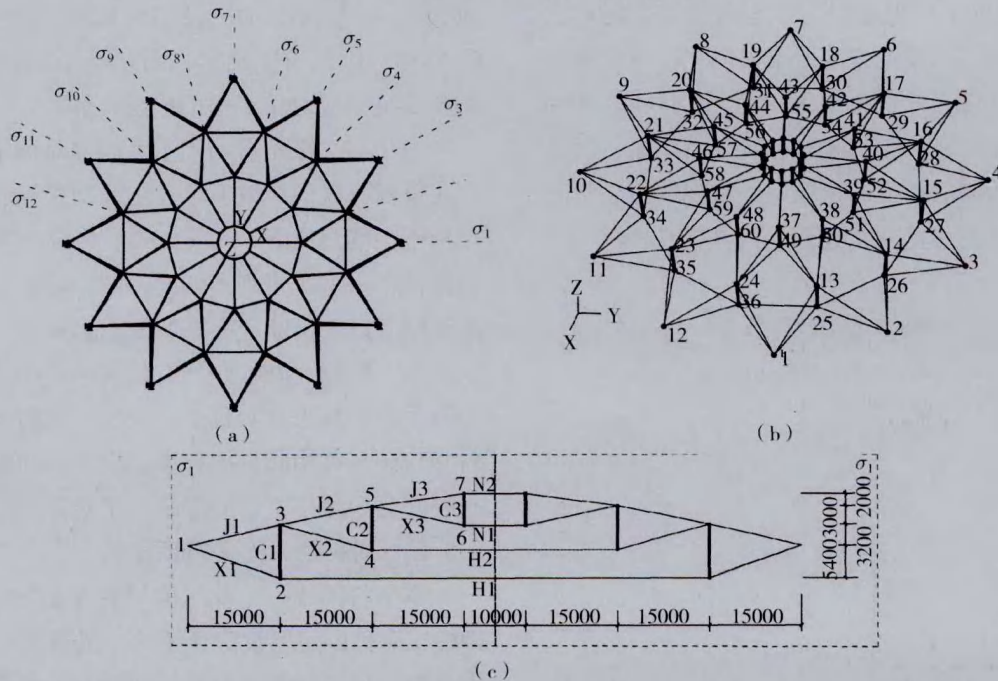


图6 C_{12v} 对称Levy型索穹顶：(a) 边界条件及对称条件；(b) 三维视图及节点编号；(c) 镜面 $\sigma_1 - \sigma_1$ 中的不同类型与单元长度(mm)

表6 不同类型单元的截面积与初始预应力

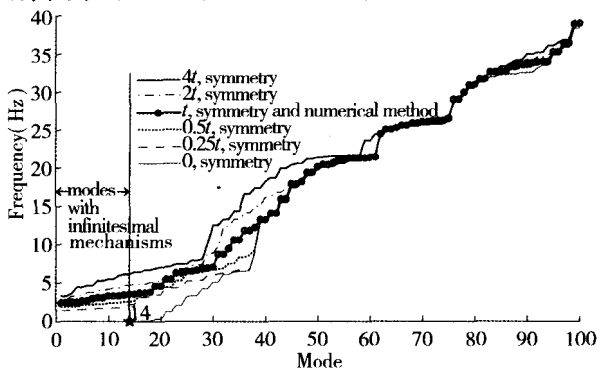
单元类型	J1	J2	J3	X1	X2	X3	H1	H2	N1	N2	C1	C2	C3
面积/cm ²	36.7	32.7	24.9	42	36.7	16.7	52	36.7	24.9	14.2	66.3	32.8	27.5
预应力/kN	1343	644	392	901	688	248	1637	1307	469	750	-305	-126	-52

取表1中 $n=12$ ，并结合公式(7-9)，可以求得该 C_{12v} 对称索穹顶结构的正交转换矩阵 V 。矩阵 V 由14个向量空间组成，其中 $V(A_1)$ 是一个 216×12 的矩阵， $V(A_2)$ 是一个 216×6 的矩阵， $V(B_1)$ 是一个 216×10 的矩阵， $V(B_2)$ 是一个 216×8 的矩阵， $V(E_{11})-V(E_{52})$ 均为 216×18 的矩阵。这14个独立的对称子空间用于将 216×216 的刚度矩阵和质量矩阵化简成14个维数更小的子矩阵。例如，结构的切线刚度矩阵被矩阵 $V(A_2)$ 转换成：

$$\tilde{K}(A_2) = V(A_2)^T \cdot K \cdot V(A_2) =$$

23212310	0	0	17535	13286761	0
0	93630	9961	-25898	0	0
0	9961	54783	-16186	0	0
17535	-25898	-16186	21651565	12388557	0
13286731	0	0	12388557	49488403	34281
0	0	0	0	34281	37037145

图7给出了由对称法求得的前100阶频率，并与常规数值法计算结果进行了对比。另外，为了研究初始预应力对结构自振频率的影响，我们利用群论方法对不同预应力水平的 C_{12v} 对称索穹顶结构进行了参数分析，其中初始预应力水平分别取为0、0.25t、0.5t、t、2t和4t。

图7 不同预应力水平下 C_{12v} 对称索穹顶的前100阶频率

由图可知，前28阶自振频率值非常小，且密集式分布。对称法所得结果与常规数值法十分吻

合，其最大误差为 $1e-9$ 。此外，算例再次证明了对称法比常规数值法更加高效，它们求取广义特征值所消耗的时间分别为0.063s和0.3594s。与一阶无穷小机构位移模态相关联的前14阶模态的频率值大小直接取决于初始预应力的大小，如图7所示。参考公式(2)可以发现，低阶频率值与预应力大小的平方根成正比。事实上，初始预应力也较好地改善了该索杆结构的刚度，提高初始预应力的水平后，结构的前50阶自振频率均显著增加。

图8描绘了结构的前12阶自振振型，可以注意到，索穹顶结构存在许多重复的特征值和等效的特征向量，例如模态1-2、模态3-4、模态5-6、模态8-9以及模态11-12。其实，这种重根现象在对称结构中普遍存在，这是因为对于 $1 \leq i \leq p$ ，对称子空间 $V(E_{i1})$ 和 $V(E_{i2})$ 的特特征计算是完全相同的。另外，对称子空间 $V(E)$ 的振型并不能保持其自身全对称性(C_{12v})，并且可能降阶为更低的对称性，譬如仅拥有单一镜像对称操作(对称群 C_s)，见图8。图中第7阶模态的振动形状和运动趋势可以从子空间 A_2 得到：根据对称群的降阶属性，该振型具有 C_{12} 旋转对称性。另外，第10阶振型之所以保持 C_{12} 全对称性称，是因为它来自于对称子空间 A_1 中。

4 结论

本文提出了一种基于群论的对称方法，能够高效求解对称型预应力结构的广义特征值问题(如自振分析)。根据所推导的对称坐标系，巧妙地将结构的切线刚度矩阵和质量矩阵进行了分块对角化，从而明显简化了广义特征值问题的求解复杂性，显著降低了计算工作量。针对三种不同对称类型的预应力结构(C_{2v} 对称索杆结构、 C_{6v} 对称索网结构、 C_{12v} 对称Levy型索穹顶)的算例均表明，文中所提出的对称法是准确有效、可行的。

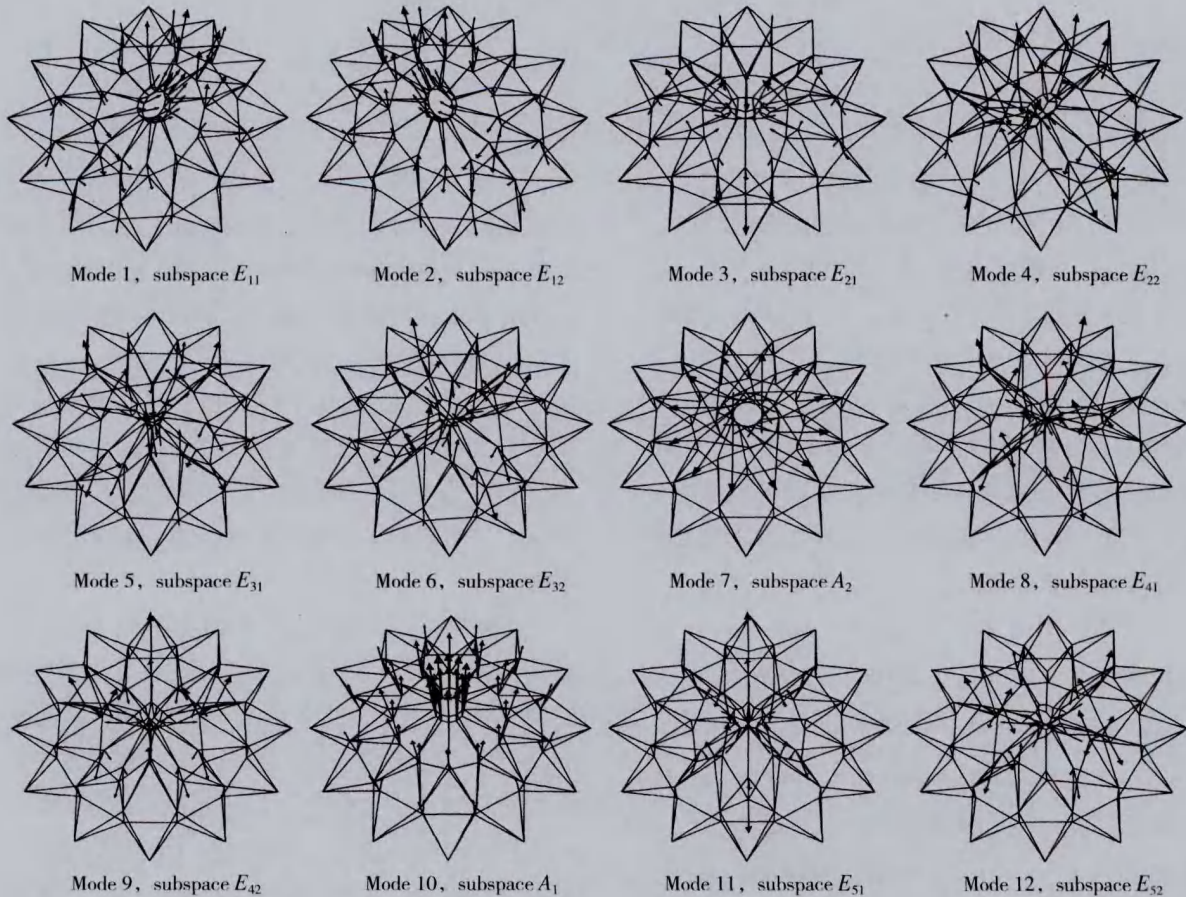


图8 C12v对称Levy型索穹顶结构的前12阶自振振型

参考文献

- [1] Altmann, S. L., and Herzog, P. (1994). Point-group theory tables. Oxford: Clarendon Press.
- [2] Ceulemans, A., and Fowler, P.W. (1991). "Extension of Euler's theorem to symmetry properties of Polyhedra." *Nature*, 353(5), 52-54.
- [3] Gerardo, C., and Levy, M. P. (June 7-9 1992). "Analysis of the Georgia Dome Cable Roof." *Proceedings of the Eighth Conference of Computing in Civil Engineering and Geographic Information Systems Symposium*, ASCE, Dallas, TX.
- [4] Guest, S.D. (2006). "The stiffness of prestressed frameworks: A unifying approach." *International Journal of Solids and Structures*, 43(3-4), 842-854.
- [5] Gunnar, T. (1999). "Numerical analyses of cable roof structures." M.S. thesis, Royal Institute of Technology, Stockholm, Sweden.
- [6] Healey, T. J., and Treacy, J. A. (1991). "Exact block diagonalization of large eigenvalue problems for structures with symmetry." *International Journal For Numerical Methods in Engineering*, 31, 265-285.
- [7] Kangwai, R. D., Guest, S. D., and Pellegrino, S. (1999). "An introduction to the analysis of symmetric structures." *Computers and Structures*, 71(6), 671-688.
- [8] Kaveh, A., and Fazli, H. (2010). "Eigensolution of augmented graph products using shifted inverse iteration method." *International Journal for Numerical Methods in Engineering*, 83(5), 558-574.
- [9] Kaveh, A., and Nikbakht, M. (2007). "Decomposition of symmetric mass-spring vibrating systems using groups, graphs and linear algebra." *Communications in Numerical Methods in Engineering*, 23(7), 639-719.
- [10] Kaveh, A., and Nikbakht, M. (2010). "Improved group-theoretical method for eigenvalue problems of special symmetric structures, using graph theory." *Advances in Engineering Software*, 41(1), 22-31.
- [11] Kaveh, A., and Rahami, H. (2007a). "Compound matrix block diagonalization for efficient solution of eigenproblems in structural matrices." *Acta Mechanica*, 188(3-4), 155-166.
- [12] Kaveh, A., and Rahami, H. (2007b). "Tri-diagonal and penta-diagonal block matrices for efficient eigensolutions of problems in structural mechanics." *Acta Mechanica*, 192(1-4), 77-87.
- [13] Kaveh, A., and Rahami, H. (2008). "Topology and graph products; eigenproblems in optimal structural analysis." *Communications in Numerical Methods in Engineering*, 24(11), 929-945.

(下转第25页)

- in Fiber-Reinforced Concrete. *J Compos Constr* 2012; 16(4): 371-380.
- [23] Fang Z, Liang D and Jiang T. Experimental investigation on the anchorage performance of CFRP tendon in different bond mediums. *Chn Civ Eng J* 2006; 39(6): 47-51. (In Chinese)
- [24] Jiang T and Fang Z. Theoretical and experimental investigation on anchorage performance of CFRP tendon in RPC. *Engineering Mechanics* 2009; 1; 166-173. (In Chinese)
- [25] Zhang B and Benmokrane B. Design and evaluation of a new bond-type anchorage system for fiber reinforced polymer tendons. *Can J Civ Eng* 2004; 31(1): 14-26.
- [26] Chen M, Chen G, Fang Z, Zhang K, Hu J, Liu R, et al. Large-scale ground anchorage system with high performance materials. *Proc, 28th Annual Int Bridge Conf, David L Lawrence Convention Center, Pittsburgh, Pennsylvania, USA; 2011;694-699.*
- [27] Richard P. *Composition of Reactive Powder Concrete*. Cement and Concrete Research 1995; 25; 1501-1511.
- [28] Feylessoufi A, Villieras F and Richard P. Water environment and nonstructural network in a reactive powder concrete. *Cement and Concrete Composites* 1996; 18(6); 203-209.
- [29] ACI 440 3R. *Guide Test Methods for Fiber-Reinforced Polymer (FRP) Composites for Reinforcing or Strengthening Concrete and Masonry Structures*. ACI Committee 440, American Concrete Institute; 2012.
- [30] ACI 440K. *Guide test methods for fiber reinforced plastic (FRP) rods and sheets*. 2001 Fall Convention, ACI Committee 440, American Concrete Institute, Dallas, Tex; 2001.

(上接第12页)

- [14] Kaveh, A., and Rahami, H. (2010a). "Block circulant matrices and applications in free vibration analysis of cyclically repetitive structures." *Acta Mechanica*, 217(1-2), 51-62.
- [15] Kaveh, A., and Rahami, H. (2010b). "An efficient analysis of repetitive structures generated by graphproducts." *International Journal for Numerical Methods in Engineering*, 84(1), 108-126.
- [16] Kaveh, A., Rahami, H., and Nikbakht, M. (2010). "Vibration analysis of regular structures by graphs products: cable networks." *Computers and Structures*, 88, 588-601.
- [17] Kettle, A.S.F. (1995). *Symmetry and Structure*, second edition. West Sussex, England: John Wiley & Sons Ltd.
- [18] Kitipornchai, S., Kang, W., Lam, H.F., and Albermani, F. (2005). "Factors affecting the design and construction of Lamella suspen-dome systems." *Journal of Constructional Steel Research*, 61(6), 764-785.
- [19] Luo, Y.Z., and Wang, R. (2005). "Study on dynamic characteristics and behavior of cable dome subjected to multi-dimensional and multi-point seismic excitations." *Journal of Zhejiang University (Engineering Science)*, 39 (1), 39-45.
- [20] Mohan, S.J., and Pratap, R. (2004). "A natural classification of vibration modes of polygonal ducts based on group theoretic analysis." *Journal of Sound and Vibration*, 269(3-5), 745-764.
- [21] Pandia Raj, P., and Guest, S.D. (2006). "Using symmetry for tensegrity form-finding." *Journal of the International Association for Shell and Spatial Structures: IASS*, 47 (3), December n. 152.
- [22] Pellegrino, S. (1990). "Analysis of prestressed mechanisms." *International Journal of Solids Structures*, 26(12), 1329-1350.
- [23] Pellegrino, S., and Calladine, C. R. (1986). "Matrix analysis of statically and kinematically indeterminate frameworks." *International Journal of Solids Structures*, 22 (4), 409-428.
- [24] Skelton, R. E., and Oliveira C. (2009). *Tensegrity systems*. Springer.
- [25] Wu, M., and Sasaki, M. (2007). "Structural behaviors of an arch stiffened by cables." *Engineering Structures*, 29(4), 529-541.
- [26] Yuan, X.F., and Dong, S. L. (2003). "Integral feasible prestress of cable domes." *Computers and Structures*, 81, 2111-2119.
- [27] Zhang, J. Y., Guest, S. D., and Ohsaki, M. (2009a). "Symmetric prismatic tensegrity structures: Part I. Configuration and stability." *International Journal of Solids and Structures*, 46(1), 1-14.
- [28] Zhang, J. Y., Guest, S. D., and Ohsaki, M. (2009b). "Symmetric prismatic tensegrity structures. Part II: Symmetry-adapted formulations." *International Journal of Solids and Structures*, 46(1), 15-30.
- [29] Zhang, X.Y., Li, G.Q., and Zhao, S.F. (2007). "Frequency techniques based cable tension estimation of beam string structures." *Proceedings of International Conference on Health Monitoring of Structure, Materials and Environment* (pp. 574-578). Nanjing, China: Southeast University Press, c2007.
- [30] Zingoni, A. (1996). "An efficient computational scheme for the vibration analysis of high-tension cable nets." *Journal of Sound and Vibration*, 189 (1), 55-79.
- [31] Zingoni, A. (2002). "Group-theoretic applications in solid and structural mechanics: a review." *Computational Structures Technology*, Saxe-Coburg Publications, Stirling, pp. 283-317.
- [32] Zingoni, A. (2005). "On the symmetries and vibration modes of layered space grids." *Engineering Structures*, 27(4), 629-638.
- [33] Zingoni, A. (2008). "On group-theoretic computation of natural frequencies for spring-mass dynamic systems with rectilinear motion." *Communications in Numerical Methods in Engineering*, 24(11), 973-987.
- [34] Zingoni, A. (2009). "Group-theoretic exploitations of symmetry in computational solid and structural mechanics." *International Journal for Numerical Methods in Engineering*, 79, 253-289.
- [35] Zlokovic, G.M. (1989). *Group theory and G-vector spaces in structural analysis*. Ellis Horwood: Chichester (UK).